

ژئوشیمی و تحلیل فرکتال انکلاوهای گرانودیوریتی دهبالا برای بررسی فرایند هیریداسیون ماقمایی

ذیب قرامحمدی^۱، علی کنعانیان^{۲*} و محسن ایاسی^۳

^۱کارشناسی ارشد، دانشکده زمین‌شناسی، پردیس علوم، دانشگاه تهران، تهران، ایران

^۲استاد، دانشکده زمین‌شناسی، پردیس علوم، دانشگاه تهران، تهران، ایران

^۳دانشیار، دانشکده زمین‌شناسی، پردیس علوم، دانشگاه تهران، تهران، ایران

تاریخ پذیرش: ۱۴/۰۹/۱۳۹۵ | تاریخ دریافت: ۱۰/۰۶/۱۳۹۵

چکیده

توده نفوذی دهبالا در محدوده ۴۵ کیلومتری جنوب باخته شهرستان بوئین‌زهرا در استان قزوین رخمنون دارد. این توده دارای انکلاوهای میکروگرانولار ماقمایک بسیار با اشکال گرد شده و بیضوی و با اندازه‌های ۲ تا بیش از ۳۰ سانتی‌متر است. انکلاوهای میکروگرانولار ماقمایک بسیار با سطوح تحملی و سنگ‌های میزبان بیش از گرانودیوریت تشکیل شده‌اند. حضور بافت‌های عدم تعادل همچومن درشت‌بلورهای پلازیوکلاز با سطوح تحملی و بافت غربالی، کوارتز اولی و آپاتیت‌های سوزنی در انکلاوهای میکروگرانولار رخداد آبینگی ماقمایی در توده نفوذی دهبالا باشد. توزیع عناصر اصلی و فرعی و خاکی کتابخانه روشی تبادل میان ماقماهای فلیسیک میزبان و انکلاوهای را در طی آبینگی ماقمایی بازناب می‌دهد. غنی‌شدنگی غیر عادی REE در انکلاوهای میکروگرانولار ماقمایک بسیار با وجود آورده این دو سنگ و نامقایی شکلی ایجاد شده در انکلاوهای ابعاد فرکتال (ناشی از فرایندهای آبینگی ماقمایی) است. ابعاد فرکتال انکلاوهای میکروگرانولار ماقمایی را در نمودار ستوانی نشان می‌دهد. بر پایه بعد فرکتال (D_{box}) انکلاوهای میکروگرانولار ماقمایک، نسبت لگاریتم گراناتری گرانودیوریت میزبان به انکلاوهای میکروگرانولار ماقمایی در حدود ۰/۹۶ است. پیش از اینکلاوهای میکروگرانولار ماقمایی در حدود ۰/۵۶ درصد و مقادیر بالای ابعاد فرکتال نزدیک به ۵۶٪ می‌شوند. این متنه آبینگی کم ماقمایی ماقمایی انکلاوهای با ماقماهای فلیسیک میزبان را ناید می‌کند و نشانه افزایش اختلاف گراناتری میان ماقماهای گرانودیوریت میزبان و انکلاوهای میکروگرانولار ماقمایی است.

کلیدواژه‌ها: انکلاوهای میکروگرانولار ماقمایک، گرانودیوریت، آبینگی ماقمایی، ابعاد فرکتال، گراناتری.

E-mail: kananian@khayam.ut.ac.ir

*توبنده مسئول: علی کنعانیان

۱- پیش‌نوشته

استنباطی برای مطالعه تکامل تصاده‌های رئولوژیکی میان ماقماهای میکروگرانولار ماقمایی و فلیسیک در نظر گرفته می‌شوند. رخمنونهای بسیاری از توده‌های نفوذی بیشتر گراناتری‌یدی در جنوب باخته بوئین‌زهرا بروزد دارند. بیشتر این توده‌ها میزبان انکلاوهای میکروگرانولار هستند و ویژگی‌های ژئوشیمیای نوع I را نشان می‌دهند (طباخ شعبانی، ۱۳۶۹). برخی از این توده‌ها از جمله توده نفوذی حاجی‌آباد دارای انکلاوهای میکروگرانولار ماقمایک هستند که با توجه به شکل، رنگ و بافت، اختلاط ماقمایی و واکنش‌های ژئوشیمیای میان ماقماهای حاصل از گرهش و پوسته را بازتاب می‌کنند (صفرازاد، ۱۳۸۶). هدف از این مطالعه فراهم کردن یک رویکرد جدید برای برآورده نامقایی شکلی ایجاد شده توسط فرایند اختلاط است. در این پژوهش نشان داده می‌شود که مطالعه اشکال انکلاوهای و برآورده بعد فرکتال آنها با استفاده از هندسه فرکتال، می‌تواند برای برآورده نزدیکی میکروگرانولار ماقمایی میزبان نشان داده باشد. در این راستا برای بررسی میزان هیریداسیون انکلاوهای و واکنش شیمیایی میان انکلاوهای و سنگ میزبان از داده‌های ژئوشیمیای و مطالعات ستگنگ‌نگاری نیز استفاده شده است.

۲- روش مطالعه

۲۴ نمونه عکس صحرایی از انکلاوهای و سنگ میزبان به منظور مشخص کردن سطح نمایان انکلاوهای و سنگ‌های میزبان برای اندازه‌گیری بعد فرکتال انکلاوهای گرفته شد. مطالعات ستگنگ‌نگاری روی ۶۰ مقطع نازک انجام شد. ۱۰ نمونه از سنگ‌های میزبان و ۶ نمونه از انکلاوهای میکروگرانولار ماقمایک فلیسیک میزبان دهبالا بر پایه ویژگی‌های کائی‌شناسی و بافتی با کمترین دگرسانی انتخاب و به منظور انجام تعیینهای ژئوشیمیایی به آزمایشگاه ALS-Chemex به کشور ایرلند فرستاده شدند. عناصر اصلی این نمونه‌ها با روش ICP-AES و عناصر فرعی به روش

اختلاط ماقمایی یک فرایند بوریا و باسته به حرکات مذاب در مخازن ماقمایی است. حرکات مذاب‌های مختلف در مخزن ماقمایی مسئول تولید شواهد اختلاط ماقمایی در سنگ‌هاست (Perugini and Poli, 2012). انکلاوهای میکروگرانولار ماقمایی یکی از معمول‌ترین شواهد اختلاط ماقمایی در محیط‌های پلوتونیک هستند (Didier and Barbeau, 1991). این گونه انکلاوهای را می‌توان گلبلولهایی از یک ماقمایی ماقمایی در نظر گرفت که در یک ماقمایی میزبان تزريق و تا حدی با آن آبینگه شده‌اند (Vernon, 1984; Perugini et al., 2003; Barbeau, 2005). کارهای تجربی نشان داده است که هنگامی که مذاب‌های سلیمانی با ترکیبات عنصری متفاوت در ناسا با هم قرار می‌گیرند، بیشتر توسط فرایندهای انتشار به سوی متداول شدن پیش می‌روند (Wang et al., 2015). انتشار شیمیایی یکی از مهمترین فرایندهای انتشار میان انکلاوهای ماقمایی و ماقمایی فلیسیک میزبان است که به دلیل اختلاف ترکیب دو ماقمای رخ می‌دهد. انتشار شیمیایی عناصر اصلی، فرعی و خاکی کتابخانه میان گرانودیوریت‌ها و انکلاوهای میکروگرانولار ماقمایک در طی فرایندهای اختلاط ماقمایی توسط پژوهشگران Didier and Barbeau, 1991; Tindle, 1991; (Perugini and Poli, 2002).

مطالعات تجربی نشان می‌دهد فرکتال‌های طبیعی در نتیجه حرکت‌های آشته (Chaotic) به وجود می‌آیند (Ottino et al., 1988). اختلاط ماقمایی را نیز می‌توان یک فرایند آشته (Chaotic) در مخازن ماقمایی در نظر گرفت که سبب ظهور ساختارهای فرکتال می‌شود (Perugini and Poli, 2012). انکلاوهای ماقمایی در محیط‌های درونی نزدیک به محل تزريق ماقمایی ماقمایی فلیسیک گسترش می‌یابند و با اشکال گوناگون دیده می‌شوند. سطح ناسا میان دو ماقمای ماقمایی و فلیسیک ساختار فرکتال دارد و بازتاب کننده تصاد گراناتری میان دو ماقمایی است (Perugini and Poli, 2005). بنابراین انکلاوهای ماقمایی به عنوان شاهدان

بزرگ خورده شده دیده می‌شوند که توسط کانی‌های زود متبلور شده در برگرفته شده‌اند؛ همچوحن بیوتیت‌های ریزدانه که پیشتر نیز کلرنسی شده‌اند (کوارتز اولی). بلورهای درشت ارتوکلاز باافت پویی کلینیک دیده می‌شوند. بلورهای پلازیوبکلاز با بهصورت درشت بلورهایی با سطوح تحلیلی و بافت غربالی دیده می‌شوند و با بهصورت درشت بلورهایی ریز کشیده در زمینه قرار دارند. کانی‌های مافیک در انکلاوهای شامل هورنبلنده، بیوتیت و پروکسن‌های اورالیتی است. تمرکز بالاتری از کانی‌های فرعی همچوحن اسفن و آپاتیت در انکلاوهای نسبت به سنگ‌های میزان دیده می‌شود. آپاتیت معمول ترین کانی فرعی در پیشتر انکلاوهای است. این کانی به صورت بلورهای سوزنی شکل در انکلاوهای و با فراوانی زیادتر نسبت به گراناتوپوریت‌های میزان دیده می‌شود؛ اما در گراناتوپوریت‌ها به صورت بلورهای مشتوري و ستر حضور دارد. مشاهدات سنگ‌نگاری نشان می‌دهند که انکلاوهای میکروگراناتولار مافیک، گلوبولهایی از مگماهی مافیک هستند که پس از فرارگیری در مگماهی فلیسیک میزان به طور اولیه سریع سرد و متبلور شده‌اند. حضور بافت‌های عدم تعادل همچوحن بافت‌های پویی کلینیک در مگاکربست‌های فلدسپار، حضور پلازیوبکلازهای کوچک تک‌تک در پلازیوبکلازهای بزرگ، لخته‌های مافیک، پلازیوبکلازهای با بافت غربالی، زوینگ ترکیبی و سطوح تحلیلی، بیوتیت‌های خورده شده در هر دو زوج انکلاو و میزان و سوزن‌های آپاتیت و کوارتزهای اولی در انکلاوهای به عنوان تغییرات شبیه‌یابی یا گرمایی مذاب در طی رشد بلور و شواهدی از رخداد اختلاط مگماهی به شمار می‌روند (Baxter and Feely, 2002; Grogan and Reavy, 2002).

۵- ویژگی‌های رُّفوسیمیابی

بر پایه نمودار R1-R2 (De la Roche et al., 1980) سنگ‌های توده با ترکیب اسیدی (SiO₂-66/۶-۶۶/۲) بیشتر در فلسو گراناتوپوریت‌ها، و انکلاوهای میکروگراناتولار با ترکیب مافیک حدوداً ۵۸/۲ در میدان میزانوپوریت، (SiO₂-۵۲/۸) در آندزیزی، سنگ‌های آدراؤاری اسیدی و سنگ‌های رسوبی شامل آهک نومولیتی است (شکل ۱). انکلاوهای با اشکال گرد شده و بیضوی با اندازه‌های مختلف دو تا ۳۰ سانتی‌متر در توده نفوذی دهبالا دیده می‌شوند. انکلاوهایی با اشکال پیچیده همچوحن پوشه‌های لاپلاهه شده، اشکال شلرین و به شدت کشیده شده دیده نمی‌شوند. سطح تراس آنها با سنگ‌های میزان ناگهانی است و بافتی دانه‌های ریزتر از میزان دارند. انکلاوهای دارای رنگی تیره نسبت به سنگ‌های میزان و بدون هرگونه جهت بافتگی هستند. در حاشیه انکلاوهای کانی‌های درشت دانه فلدسپار دیده می‌شود.

۶- سنگ‌نگاری

نمودار ژوشنی‌سیابی آشکاری میان انکلاوهای میکروگراناتولار مافیک (MMES) و گراناتوپوریت‌های میزان در نمودارهای تغییرات سلیس دیده می‌شود. گرایش‌های خطی برای اکسیدهای عناصر اصلی انکلاوهای میزان با یک شکاف ترکیبی مشخص شده است. در انکلاوهای مافیک محتوای Al₂O₃ (۱۴/۸)، Fe₂O₃ (۴/۲۶)، CaO (۳/۴۴)، Fe₂O₃ (۴/۱۶)، MgO (۱/۶۱)، K₂O (۳/۴۴)، TiO₂ (۰/۰۱)، Al₂O₃ (۱/۹۹)، CaO (۵/۲۷)، Fe₂O₃ (۷/۹)، MgO (۲/۹)، CaO (۵/۲۷)، Fe₂O₃ (۹/۹۹) و P₂O₅ (۰/۱۷) و مقادیر پایین تری از K₂O (۱/۱۷)، TiO₂ (۲/۵۲) دارند. (شکل ۴).

در الگوهای تغییرات عناصر فرعی محتوای Y-Sr-Nb-V در انکلاوهای نسبت به گراناتوپوریت‌ها بالاتر است (شکل ۵). روندهای غیرخطی برای برخی عناصر فرعی می‌تواند توسط حرکات آشفته (غیرخطی) نیز تولید شود (Perugini et al., 2008; Slaby et al., 2011).

گراناتوپوریت‌های میزان در الگوهای عناصر خاکی کتاب بهنجار شده با کندریت (Boynton, 1984)، یک الگوی معقر با تغییر شدگی مترسط در REE و غنی شدگی در LREEs نسبش می‌دهند (La/Yb = ۱۰/۷-۱۳). الگوی عناصر خاکی کتاب در انکلاوهای مافیک نیز به صورت منظر متوسط دیده می‌شود (La/Yb = ۷-۸/۴-۴). گراناتوپوریت‌های میزان و انکلاوهای مافیک محتوای بالایی از REE دارند و غنی شدگی نسبی از LREEs نشان می‌دهند غنی شدگی REE انکلاوهای نسبت به سنگ‌های میزان بیشتر است. انکلاوهای با مقادیر بالاتر REE (REE(t) ≈ ۱۶۳/۸) نسبت به سنگ‌های میزان مشخص شده‌اند (REE(t) ≈ ۱۳۳/۲۱). انکلاوهای از عناصر خاکی کتاب سگن (Gd/Yb ≈ ۱/۵۱) نسبت به

ICP-MS در این آزمایشگاه اندازه‌گیری شد. نتایج تجزیه ژوشنی‌سیابی انکلاوهای و سنتگ میزان و مقادیر بعد فرکتال انکلاوهای به منظور بررسی میزان هیریداسیون انکلاوهای و برآورد لگاریتم نسبت گراناتوی میزان فلزیک به انکلاوهای مورد استفاده قرار گرفت (جدول‌های ۱ و ۲).

۳- زمین‌شناسی منطقه

توده نفوذی استرک مانند دهبالا بخشی از فعالیت مگماهی گسترده ارومیه دختر در پهنه ایران مرکزی به شمار می‌رود، که در محدوده ۴۵ کیلومتری جنوب باخت شهرستان بوین زهراء در جنوب استان قزوین رخمن دارد. مجموعه آتششانی ارومیه دختر (UDMA)، کمرنده مگماهی نوع آبدی با روند شمال باخت جنوب خاور است که توسط فروانش مورب سنگ کره اپیانوسی نوتیس به زیر صفحه ایران مرکزی تشکل شده است (Agard et al., 2011; Berberian and King, 1981; Falcon, 1974). یکی از ویژگی‌های مجموعه آتششانی ارومیه دختر، تزريق نفوذی بر اثر فاز فشاری اوخر اتوس و اوایل الگرسن (غاز تکتونیکی پیرنن) (آقاباتی، ۱۳۸۳) در ردیف‌های آتششانی رسوبی به سن اتوس است. توده نفوذی دهبالا در منتهی‌اله جنوب خاوری نقشه ۱/۱۰۰۰۰ داشته‌اند (خیار) (افلیسی، ۱۳۷۸) و در مرکز نقشه ۱/۲۵۰۰۰۰ ساوه (نوگل سادات و هوشندزاده، ۱۳۸۴)، در طول‌های جغرافیایی ۴۹۰ ۵۵° تا ۴۹۰ ۴۹° خاوری و عرض‌های جغرافیایی ۳۵° تا ۳۵° شالی خیار دارد. این توده در ردیف‌های آتششانی رسوبی اتوس به سن اتوس میانی و بالایی تزريق شده و هاله دگرگونی گرمایی کسی در سنگ‌های میزان ایجاد کرده است. سنگ‌های آتششانی میزان این توده بیشتر شامل آندزیزی های پروکسن دار با کسی گذارهای داستی آندزیزی، سنگ‌های آدراؤاری اسیدی و سنگ‌های رسوبی شامل آهک نومولیتی است (شکل ۱). انکلاوهای با اشکال گرد شده و بیضوی با اندازه‌های مختلف دو تا ۳۰ سانتی‌متر در توده نفوذی دهبالا دیده می‌شوند. انکلاوهایی با اشکال پیچیده همچوحن پوشه‌های لاپلاهه شده، اشکال شلرین و به شدت کشیده شده دیده نمی‌شوند. سطح تراس آنها با سنگ‌های میزان ناگهانی است و بافتی دانه‌های ریزتر از میزان دارند. انکلاوهای دارای رنگی تیره نسبت به سنگ‌های میزان و بدون هرگونه جهت بافتگی هستند. در حاشیه انکلاوهای کانی‌های درشت دانه فلدسپار دیده می‌شود.

نمودار ژوشنی دهبالا با ترکیب سنگ‌نگاری بیشتر گراناتوپوریتی، دانه‌متوسط تا دانه درشت، از فازهای اصلی کوارتز، پلازیوبکلاز، فلدسپار پناسیم، بیوتیت، آمفیبول و کلینیپروکسن و فازهای فرعی آپاتیت، زیرکن، تیتانیت و کانی کدر تشکیل شده است. بلورهای کوارتز به صورت فازهای بینایی حضور دارد. بلورهای ارتوکلاز با ماکل دوتایی در اندازه‌های کوچک تا بزرگ حضور دارند و همچنین ارتوکلازهای درشت و می‌شکل با بافت پویی کلینیک دارای بلورهای پلازیوبکلاز، آمفیبول و کانی‌های آپاتیت و کدر دیده می‌شوند. پلازیوبکلاز با ماکل تکراری و بافت‌های غربالی، پویی کلینیک و سطوح تحلیلی دیده می‌شود. کانی‌های مافیک شامل بیوتیت و آمفیبول و پروکسن با اندازه‌ها و شکل‌های متفاوت هستند. کانی‌های مافیک به همراه کانی‌های کدر و اسفن تشکیل لخته‌های مافیک می‌دهند.

نوع کانی‌های تشکیل دهنده گراناتوپوریت‌ها و انکلاوهای متابه است اما در انکلاوهای محترای بلورهای پلازیوبکلاز و اجزای مافیک مانند بیوتیت و هورنبلنده فراوانتر هستند و کوارتز و فلدسپار پناسیم کمتر دیده می‌شوند. اندازه کانی‌های در انکلاوهای چندین برابر از گراناتوپوریت‌های میزان کوچک‌تر است. انکلاوهای در زیر میکروسکوب بافت گراناتولار تا میکروگراناتولار دارند. حاشیه انجامداد سریع در همراه دانه‌های انکلاو ریزتر با سنگ میزان مشهود است، به گونه‌ای که در تزدیکی میزان دانه‌های انکلاو و بلورهای فلدسپاری دیده می‌شوند. در سطح تراس میان انکلاو و میزان، بلورهای فلدسپاری دیده می‌شوند که بسی از آنها درون انکلاو و نیم دیگرانش درون سنگ میزان حضور دارد. بلورهای کوارتز با به صورت فازهای بینایی و با بلورهای

شکه هستند که می توانند به آسانی فعالیت کنند و پس از اختلاط به سرعت به سوی همگن شدگی بیش روند. مرسم تربن انتقال عناصر اصلی از ماگماهای فلیسیک میزان به انکلاوهای ماگماهای مافیک، انتقال آلکالی ها یعنی عناصر K و Na است. دلیل اصلی برای حرکت انتشاری سریع آلکالی ها به عنوان عناصر اصلی تشکل دهنده شکله، بار الکتریکی باین آنهاست (۱). هر عنصر با شعاع اتمی و بار الکتریکی بزرگتر، ضرب انتشار کمتری دارد (Rolinson, 1993). با این وجود محظوظ باین نر K₂O در انکلاوها نسبت به میزان یانگر انتشار ضعیف K₂O از ماگماهای فلیسیک به ماگماهای مافیک است (Kumar and Pieru, 2010). همچنین سرد شدن سریع انکلاوهای میزان میزان با انکلاو سبب کند شدن فرایند تبادل آلکالی ها می شود (Wiebe et al., 1997).

انکلاوهای میکروگرانولار مافیک در سراسر جهان نسبت به سنگ های میزانشان REE و به وزیر HREE بیشتری دارند و تغیرن صعب تری از LREE/HREE نشان می دهند (Barberin, 1991). محظوظی بالاتر HREE در انکلاوها شاید به دلیل تسرکر پیشتر کائی های فرعی باشد. محظوظی بالاتر REE در انکلاوهای میزان نسبت به میزان یانگر انتشار می دهد. این عناصر از میزان فلیسیک باشد که سبب تبلور فراوان کائی های فرعی میزان REE (زیرکن و اسفن) می شود (Sawka, 1988). کارهای تجزیی نشان می دهد که مواد فرار، LREE و Rb⁺, Sr²⁺, Zr⁴⁺, Nb⁵⁺ در طی واکنش ماگماهای مافیک فلیسیک به مظور کاهش فعالیت به سوی ترکیب مافیک تر مهاجرت می کنند (Baker, 1990; Tate et al., 1997). بی هنجاری منفی Ti⁴⁺ و Nb⁵⁺ در انکلاوها احتسالا نسبت به میزان شیمیایی میان ماگماهای مشتمل از گرشه و ماگماهای میزان پیرامون آنهاست (Rudnick and Gao, 2003; Yang et al., 2007). انکلاوها دارای مقابله ای (A/CNk= [molar Al₂O₃]/[CaO+Na₂O+K₂O]) میزان هستند؛ بنابراین چنین تغییرات شیمی بیان می کند که دو عضو بایانی به عنوان اضافی اصلی برای پیدا شدن انکلاو و سنگ های میزان هبزید خود و واکنش داده اند (Barberin and Didier, 1992; Wiebe et al., 1997; Perugini et al., 2003).

فرایند های هبزیداسیون در انکلاوهای انتشار شیمیایی را هدایت می کند. انتشار عناصر اصلی میان ماگماهای مافیک و فلیسیک در کل تقابل به سوی تعادل ترکیبی دارد (Debon, 1991). انکلاوهای از گرانولودبوریت های دهبالا شواهدی برای تبادل شیمیایی نشان می دهد که پیشتر مربوط به هبزیداسیون ناشی از آبخیزگی است. در نسودارهای هارکر، ارتباط منفی میان SiO₂ و برخی اکسیدهای اصلی دبه می شود (Fe₂O₃, MgO, MnO, CaO, TiO₂, P₂O₅)

بر پایه ویژگی های ژئوشیمیایی انکلاوهای (Tindle, 1991) شناسایی کرد: توجه به محظوظی سلیسیلین انکلاوا (Tindle, 1991) شناسایی کرد: انکلاوهای با کترین هبزیدشده کی که با محظوظی SiO₂ کتر از ۵۵ wt % مشخص می شوند (نموده با شماره 5 DAS).

انکلاوهای با کسی هبزیدشده کی که با محظوظی SiO₂ نزدیک به ۵۶ wt % مشخص می شوند (نموده با شماره 5 DA41, DA40, DA43 و DA44). انکلاوهای با هبزیدشده کی متوسط که با محظوظی SiO₂ نزدیک به ۵۸ wt % مشخص می شوند (نموده با شماره 5 DA42).

انکلاوهای موجود در گرانولودبوریت های دهبالا عموما در مرحله ۲ هستند. آنها کسی هبزیدشده کی با سنگ های فلیسیک میزان را تحریه کرده اند.

مرحله ۱ سرد شدن سریع انکلاوهای را نشان می دهد؛ بنابراین ترکیب این انکلاوهای به منبع مافیک نزدیک تر است. مرحله ۲ و ۳ سرد شدن کنتر انکلاوهای را نمایش می دهد بنابراین انکلاوهای در اثر تبادل شیمی با ماگماهای فلیسیک کسی تغییر ترکیب داده اند.

محظوظی غنی تر Fe₂O₃, TiO₂, MgO و (f) Al₂O₃ انکلاوهای نسبت به میزان نشان دهنده این است که این عناصر به اندازه کافی میان ماگماهای مافیک و اسیدی میزان تبادل نشده اند. بنابراین تبادل ناکامل برخی عناصر اصلی میان انکلاو و میزان، نشانه سرد شدن سریع ماگماهای محلول شده و ناکافی بودن زمان برای انجام تبادلات بوده است.

سنگ های ترde (Gd/Yb)n - ۱/۱۹ ۱۳۸) غنی شدگی بیشتری نشان می دهند. هم انکلاوهای و هم سنگ های میزان الگوی مسطح و تغیرن شده عناصر خاکی کمیاب سنگی دارند (شکل ۶ الف).

در الگوی عناصر فرعی هنجار شده با ترکیب گوشه اولیه (Sun and McDonagh, 1989) گرانولودبوریت های و انکلاوهای LILE غنی شدگی و از HFSE نهی شدگی نشان می دهند. گرانولودبوریت های بی هنجاری منفی متوسط Ba و Nb و Ti⁴⁺ دارند؛ اما انکلاوهای دارای الگوی ویژه ای هستند، آنها از عناصر Yb³⁺, Dy³⁺, Lu³⁺, Sm³⁺, Ti⁴⁺, Nb⁵⁺ و Zr⁴⁺ نسبت به سنگ های ترde نهی شدگی و از عناصر Ba می شود (شکل ۶ ب).

۶- انتشار و تبادل شیمیایی

در این بخش با توجه به فرارگیری انکلاوهای گرانولودبوریتی میزان، احتمال انجام تبادلات شیمیایی میان ماگماهای سازنده این دو بخش مورد بررسی فرار می گیرد. انتشار اتم های یا مولکول های یک فرایند خود به خود است که به دلیل تسرکرهای متفاوت محظوظی ارزی با ترکیب شیمیایی در فازهای جامد، مایع و گاز رخ می دهد (Best, 1982). به طور کلی، انتشار از محلی با ارزی و با غلظت زیاد به سوی محلی با ارزی یا غلظت کسر است. انتشار هر اتم با مولکول نه تنها به غلظت خود آنها بلکه به غلظت دیگر اجزاء سامانه وابسته است (Bindeman and Davis, 1999). در سامانه های آذرین دو فرایند اصلی برای تبادلات شیمیایی معرفی شده است: ۱) مهاجرت مواد فرار و سیال از جز فلیسیک به جز مافیک (Wiebe, 1973; Vernon, 1983) که این امر سبب کاهش گرانولوی جزو مافیک و در نتیجه افزایش نرخ انتشار می شود (Watson, 1981) ۲) انتشار عناصر به دلیل تفاوت ترکیب دو محیط (Vogel et al., 1984; Kouchi and Sunagawa, 1985) تعزیزدهای عناصر اصلی و کتاب نشان می دهد که تبادل عنصری میان انکلاوهای و سنگ های میزان رخ داده است. فرایند انتشار شیمیایی به دلیل تبادلات گرمایی، مکانیکی و انجام واکنش های شیمیایی میان ماگماهای مافیک و فلیسیک همسن روی می دهد. تبادل گرمایی بسیار سریع تر از تبادل مکانیکی با شیمیایی رفتار می کند (Barberin and Didier, 1992). تبادل شیمیایی بیشتر پس از تعادل گرمایی روی می دهد زیرا نرخ انتشار گرمایی در مذاب های سلیکاتی بیشتر سه تا پنج برابر بزرگتر از انتشار شیمیایی است (Fernandez and Barberin, 1991; Barberin and Didier, 1992).

گرانولودبوریت های و انکلاوهای دهبالا از دید فراوانی برخی عناصر اصلی با یکدیگر متفاوتند. فراوانی عناصر فرعی نیز در انکلاوهای با بیشتر از سنگ میزان و با مشابه با آن است. عناصر فرعی در انکلاوهای و گرانولودبوریت های روندهای تا حدودی یکسان در الگوهای هنجار شده با گوشه اولیه نشان می دهند. تباش در ترکیب برخی عناصر کتاب میان انکلاوهای و میزان ناشی از انتشار و تعادل دوباره نسی، به عنوان یک نتیجه طبیعی از مدل اختلاط آبخیزگی است (Xiong et al., 2011; Zhao et al., 2012). درجه تعادل ژئوشیمیایی معمولأ تابع زمان است، بد گونه ای که اگر زمان برای اختلاط ناکافی باشد، سامانه به همگنی ژئوشیمیایی نسی رسید (Lesher, 1990). مطالعات تجربی شواهدی برای انتشار Si و آلکالی های از جزو فلیسیک به مافیک فراهم کرده است، اما برای انتشار عناصر Mg و Ca و Fe و Ti⁴⁺ در سوی مخالف، شواهد کمتری مطرح شده است (Johnston and Wyllie, 1988). این مهاجرت در فاصله های خیلی کوتاه در محل تماش با قطعه های مافیک رخ می دهد، افزایش سطح تماس میان دو جزو، از راه قلعه قطعه شدن جز مافیک در جز فلیسیک سبب افزایش تبادلات شیمیایی می شود (Gamble, 1979; Kouchi and Sunagawa, 1985).

رفار ژئوشیمیایی عناصر طی اختلاط ماگماهای به طور قابل ملاحظه ای متفاوت است (Lesher, 1990). عناصر اصلی در مذاب سلیکاتی اجزای اسیدی تشکیل دهنده شکله (بیشتر به صورت تراهدرال) هستند؛ بنابراین انتشار و همگن شدگی در طی اختلاط ماگماهای برای عناصر اصلی مشکل است؛ با این حال عناصر فرعی اجزاء بدون

اسیدی به شمار می‌رود (Perugini et al., 1999). بنابراین هر چه سطح تماس میان انکلاو و میزان نامنظم تر و یا به عبارتی بعد فرکتال انکلاوهای پیشتر باشد، میزان اختلاط میان ماقماهای مافیک و فلزیک کمتر خواهد بود. بر عکس هر چه سطح تماس میان انکلاو و میزان نظم تر باشد، بعد فرکتال انکلاوهای کاهش می‌باید و نشان دهنده درجه بالای اختلاط ماقماهای مافیک و فلزیک خواهد بود. همان‌گونه که در شکل A ملاحظه می‌شود، افزایش پیچیدگی ریخت‌شناسی در انکلاوهای سبب افزایش بعد فرکتال می‌شود و نزدیکت رویدن ترکیب آن به عصر انتهایی مافیک (ماقماهای حاصل از گروشه) را بیان می‌کند. با توجه به اینکه پیشتر انکلاوهای در توده نفوذی دهبالا با ابعاد فرکتال بالا مشخص می‌شوند و شمار کمی از آنها دارای بعد فرکتال پایین هستند، می‌توانی توجه گرفت که ترکیب انکلاوهای در توده نفوذی دهبالا به ترکیب گروشه نزدیکتر است و کمی آمیختگی با ماقماهی فلزیک را بیان می‌کند. داده‌های ژئوشیمیای نیز تأیید می‌کنند که انکلاوهای در توده نفوذی دهبالا به ترکیب گروشه تمایل دارند و کمی آمیختگی با ماقماهی میزان را در سرگذشت خود ثبت کرده‌اند.

۸- گواهی

گرانزوی مذاب‌های سبلکاتی چگونگی جابه‌جایی و انتقال ماقماهای را کنترل می‌کند. از ادامه نتایج آنالیز فرکتال و آزمایش‌های دینامیک سبلاله، معلوم شده است که هر چه همیزی میان دو مذاب فلزیک و مافیک ناهموارتر باشد (بعد فرکتال انکلاوهای پیشتر باشد)، اختلاف گرانزوی میان دو محیط پیشتر است (Perugini and Poli, 2005). بر همین اساس رابطه تجزیی زیر برای برقراری ارتباط میان پیچیدگی ریخت‌شناسی همیزی میان دو سیال با گرانزوی سنگ میزان و انکلاو (VR) معرفی شده است (Perugini and Poli, 2005).

$$\text{Log(VR)} = 0.013 * e^{3.34 * D_{\text{box}}}$$

این رابطه تجزیی برای دو سیال برقرار می‌شود که در هنگام فرایند اختلاط در کنار هم فرار می‌گردند و نشان می‌دهد که افزایش پیچیدگی ریخت‌شناسی در محل همیزی دو سیال، یانگر افزایش اختلاف گرانزوی میان دو محیط است (Albert et al., 2014). شرط استفاده از این رابطه در محیط‌های ماقماهایی آن است که در هنگام اختلاط، ماقماها تبلور چندانی را پیش سر نگذاشته باشند و بتوان آنها را به عنوان سیال در نظر گرفت. در این بیووهش برایه رابطه بالا و با استفاده از بعد فرکتال ریخت‌شناسی انکلاوهای نسبت گرانزوی میزان به انکلاو، میان ۰/۵۶ تا ۰/۹۶، میان ۰/۰۵۰ تا ۰/۰۹۶ و دست آمده است (جدول ۳) و همان‌گونه که در شکل ۹ دیده می‌شود، در نسودار ستونی، مذ ۰/۹۶ را نشان می‌دهد.

اطلاعات شکل ۱۰ تأیید دارد که میان ابعاد فرکتال انکلاوهای و لگاریتم نسبت گرانزوی رابطه مستقیم وجود دارد. هنگامی که اختلاف گرانزوی افزایش می‌باید، پیچیدگی‌های سطح تماس نیز افزایش می‌باید (افزایش بعد فرکتال) که این امر نشانگر اختلاط کمتر ماقماهای مافیک با ماقماهی فلزیک است و نشان می‌دهد که ترکیب انکلاو به عصو انتهایی مافیک نزدیکتر است. البته در صورتی که فرایند انتشار و آمیختگی ادامه پیدا کند، در پایان منطقه اختلاط همگن تر می‌شود و در بی آن لگاریتم اختلاف گرانزوی کاهش می‌باید و انکلاوهای با D_{box} پایین تر تولید می‌شوند (Albert et al., 2014). آنجایی که انکلاوهای میکروگرانولار مافیک در توده نفوذی دهبالا پیشتر شکل‌های گرد شده و بیضوی نشان می‌دهند و انکلاوهای با اشکال پیچیده مسچون پرسته‌های لایه لایه شده، شکل‌های شلرین و به شدت کشیده شده دیده نمی‌شوند، این مسئله پیشنهاد می‌دهد که اثرات آمیختگی ماقماهی (اختلاط مکانیکی) روی انکلاوهای و گرانودیبوریت‌های میزان به نسبت ضعیف بوده است (Barbarin, 2005; Farmer et al., 2014).

۹- نتیجه گیری

حضور بافت‌های غربالی و سطوح تخلیقی در درشت‌بلورهای پلازیکلار، کوارترهای اولسی، درشت‌بلورهای فلدسپار پیاسیم همراه با بافت پری کلیک

۷- اندازه گیری ابعاد فرکتال انکلاوهای در توده نفوذی ده بالا

انکلاوهای میکروگرانولار مافیک در گرانودیبوریت‌های دهبالا به اشکال گرد و بیضوی با اندازه‌های میان ۲ تا ۳۰ سانتی‌متر دیده می‌شوند. تغییرات ریخت‌سنگی در انکلاوهای متأثر از میزان آمیختگی و جریان ماقماهی است؛ بنابراین پیشنهاد می‌شود که شکل انکلاوهای به شدت نایاب حرکات خطی تا آشفته حاصل از بر هم کنش ماقماهای مافیک و فلزیک در مخازن ماقماهی باشد (Vernon et al., 1988; Kumar et al., 2004). نیروهای هرمنی که سبب آمیختگی و آشفته‌گی می‌دری از محزن ماقماهی می‌شوند، عامل پراکنده شدن انکلاوهای در مخازن ماقماهی میزان هستند (De Campos et al., 2011). محل تماس با مرز میان انکلاوهای و میزان ناهموار با نامنظم است. این ناهمگنی شکلی در مرز میان میزان انکلاوهای و میزان ناهموار با فرکتال قابل اندازه گیری است. اما باید توجه داشت که نتایج این اندازه گیری‌ها به شدت به تشخیص دقیق مرز میان انکلاو و میزان وابسته است.

از سطح دوبعدی ۲۴ نسونه انکلاو برای تصویر کردن سطح تماس میان انکلاوهای میزان عکس گرفته شد. این تصاویر با استفاده از نرم افزار Image به تصاویر دوتایی (Binary) تبدیل و در این تصاویر دوتایی انکلاوهای و میزان توسط پیکسل‌های سیاه و سفید از بک دیگر تفکیک شدند. برای برآورد و کاهش خطای فرایند پیدا کردن مرز دقیق میان انکلاو و میزان چندین بار تکرار شد. پیچیدگی‌های ریخت‌شناسی انکلاوهای از روی بعد فرکتال آنها برآورده شده است (Mandelbrot, 1989).

بعد فرکتال انکلاوهای به روش شمارش مربعی (Box-Counting) به دست می‌آید (D_{box}) به این صورت که روی هر تصویر دوتایی سیاه و سفید، سکانسی از شبکه‌های مربعی شفاف با اندازه‌های متفاوت (z) فرار می‌گیرد و تعداد مربع‌هایی (N) که حاوی مرز بین دو مربع است شمارش می‌شود ($N = z^{-D_{\text{box}}}$). الگوهای فرکتال انکلاوهای توسط روش شمارش مربع و با استفاده از فرمول زیر به دست آمده است (Mandelbrot, 1982).

$$\text{Log}(N) = -D_{\text{box}} + \text{Log}(z)$$

شب خط نسودار (Log(N) در برابر z) برابر $-D_{\text{box}}$ است. همان‌گونه که در شکل ۷ دیده می‌شود از تصویر N تا C به ترتیب مقادیر انکلاوهای کاهش می‌باشد. کاهش بعد فرکتال انکلاوهای با کاهش پیچیدگی‌های ریخت‌شناسی انکلاوهای همراه است. مقادیر D_{box} انکلاوهای در ۲۴ نسونه میان ۱/۱۴ تا ۱/۲۹ و در نسودار ستونی مذ ۱/۲۹ است (شکل ۸).

در طی اختلاط ماقماهی دو منطقه ساکن و فعل به وجود می‌آید (Perugini et al., 2003). با توجه به اینکه انکلاوهای ماقماهی در مناطق ساکنی تشكیل می‌شوند که تبادلات شیمیایی کمتری دارند، عناصر نمی‌توانند به اندازه کافی میان ماقماهی مافیک انکلاو و ماقماهی اسیدی میزان مبادله شوند. بنابراین آنها ناینده ترکیب ماقماهی مافیک اولیه هستند (ماقماهی مافیکی که در فرایند اختلاط شرکت کرده است) (Perugini et al., 2003). البته با گذشت زمان، انکلاوهای در اثر تبادل شیمیایی تغیر می‌کند. حضور بلورهای متعلق به ماقماهی میزان (مگاکریست‌های فلدسپار پیاسیم و کوارتزهای اوسلی) در ماقماهی انکلاوهای و همچنین حضور بلورهای فلدسپار پیاسیمی که نیسی از آنها درون انکلاو و نیس دیگر شان در میزان فرار دارند؛ در کنار تبدیل شدن فار پیروکسن به فازهای فرموزین آب دار مانند آمنیبریل و بیوتیت، پیشنهاد می‌کند که در طی اختلاط ماقماهی، سیال‌ها از ماقماهی فلزیک میزان به ماقماهی مافیک مهاجرت کرده‌اند (Kutmar, 2010). فاز سیال حاصل از ذوب بخشی با ذوب کامل کانی‌های موجود در ماقماهی فلزیک می‌تواند سبب آلودگی و رقین شدن ماقماهای انکلاو با ماقماهی فلزیک شود (Perugini et al., 2003; Perugini and Poli, 2004). در واقع انکلاوهای میکروگرانولار مافیک، بخش‌هایی از ماقماهی مافیک هستند که دستخوش درجات متفاوتی از اختلاط با ماقماهی میزان شده‌اند و از آنجا که با شدت گیری میزان امکانی از بعد فرکتال انکلاوهای کاهش بعد فرکتال انکلاوهای آنها با کاهش بیچیدگی‌های ریخت‌شناسی آنها بازتابی از آلودگی پیشتر ماقماهای انکلاوهای با ماقماهی

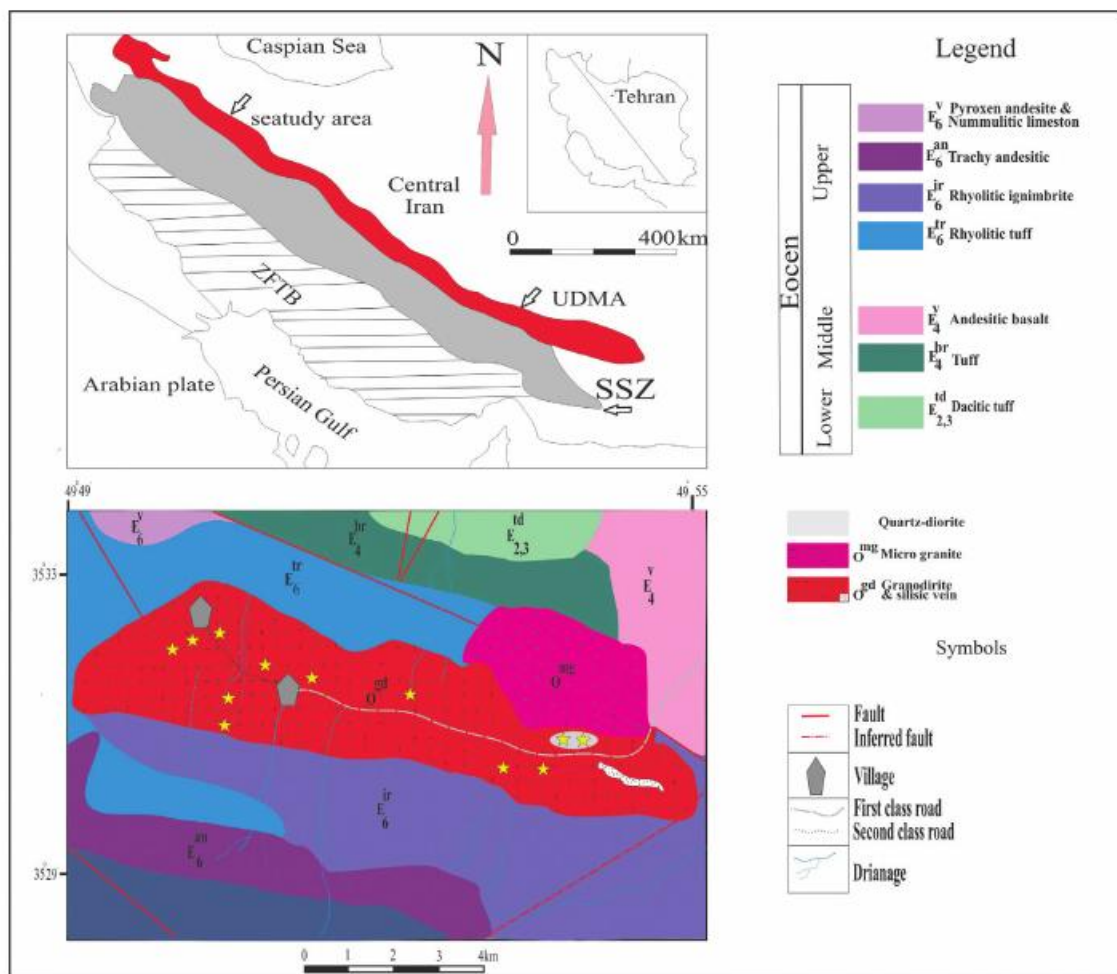
بعد فرکتال انکلاوهای میکرو و گرانولار مافیک در توده نفوذی دهبالا نشان می‌دهد که بیشتر انکلاوهای با ابعاد فرکتال بالا مشخص می‌شوند ($D_{50}=1/29$). مقادیر ابعاد فرکتال انکلاوهای با نسبت لگاریتم گرانزوی ماسگمایی فلزیک میزان به ماسگمای انکلاو، رابطه مستقیم دارد. هر چه شدت اختلاط ماسگمایی مافیک با ماسگمای فلزیک کسر باشد، بعد فرکتال انکلاوهای و در نتیجه نسبت لگاریتم گرانزوی ماسگمایی فلزیک میزان به ماسگمای انکلاو بیشتر است (اختلاف گرانزوی میان ماسگمای میزان و انکلاو افزایش می‌باشد). انکلاوهای با مقادیر بالای ابعاد فرکتال در توده نفوذی دهبالا، محنتوار سبلیس نزدیک به ۵۶ درصد و همچنین با اختلاف گرانزوی زیاد نسبت به ماسگمای میزان، به ترکیب گوشته نزدیک هستند و این امر نشان می‌دهد که کسی آمیختگی با ماسگمای میزان را تجربه کرده‌اند.

بنابراین نتایج داده‌های سنگ‌نگاری و ژئوشیمی و بعد فرکتال انکلاوهای نشان می‌دهد که انکلاوهای و سنگ‌های توده از دو ماسگمای متفاوت متشا گرفته‌اند؛ اما اختلاط و تبادل شیمیایی میان ماسگمایی مافیک و ماسگمای تا حدی سبب تعدیل اختلافات ژئوشیمیایی میان انکلاوهای و سنگ‌های میزان شده است.

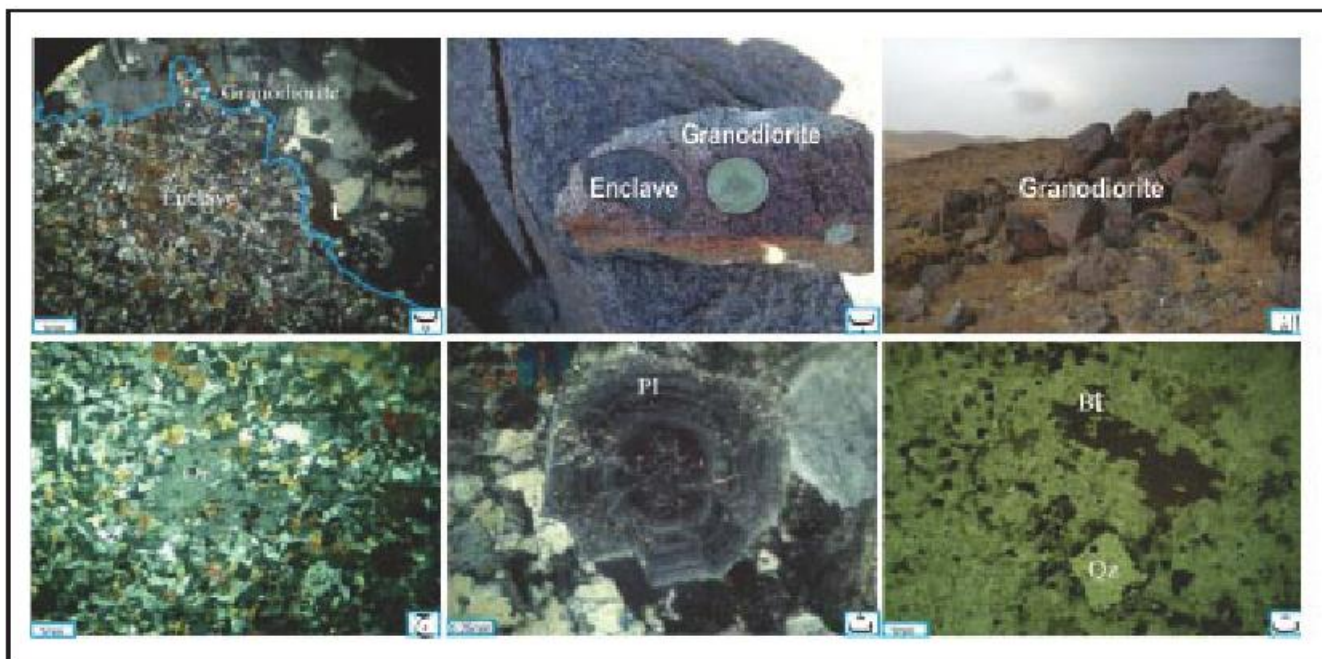
و وجود بلورهای فلدسپاری که نیسی از آنها درون انکلاو و نیسی دیگر درون میزان قرار گرفته‌اند، همگی گربای این حقیقت هستند که انکلاوهای بر اثر ورود ماسگمای مافیک پر دمای درون ماسگمای اسیدی سردتر و اختلاط آنها ایجاد شده‌اند (Baxter and Feely, 2002).

گرانولد بوریت‌ها و انکلاوهای دهبالا از دید محنتواری برخی عناصر اصلی و فرعی با یکدیگر متفاوتند و از دید برخی عناصر نیز با هم شاهت‌هایی نشان می‌دهند. همانندی در ترکیب برخی عناصر میان انکلاوهای و میزان ناشی از انتشار و تعادل دوباره نسبی، به عنوان یک نتیجه طبیعی از مدل اختلاط / آمیختگی مورد بحث فرار گرفته است و شواهد ژئوشیمیایی مطرح شده در این پژوهش نیز در تأیید داده‌های سنگ‌نگاری، همگی نشان از رخداد اختلاط ماسگمایی میان دو ماسگمای مافیک و فلزیک سازنده انکلاوهای و میزان دارند.

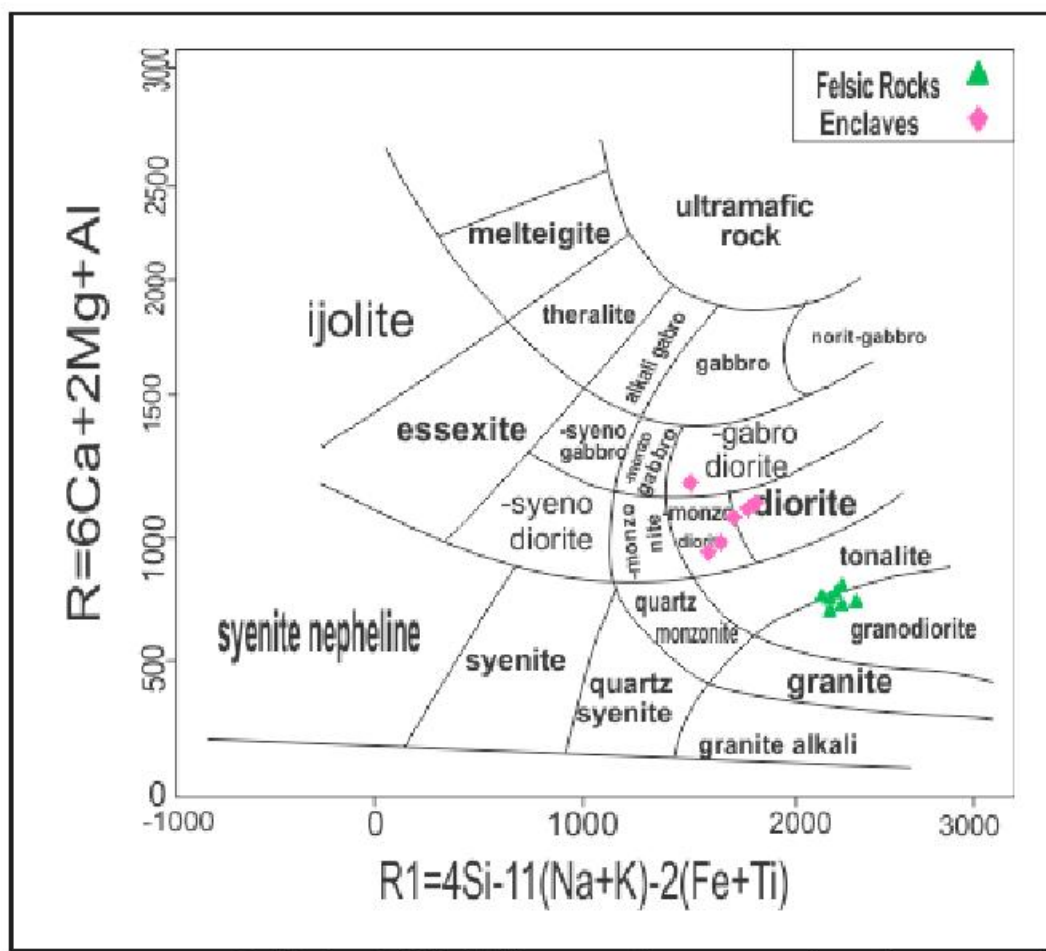
محنتواری سبلیس در بیشتر انکلاوهای نزدیک ۵۶ درصد است؛ که این امر نشان می‌دهد انکلاوهای با ترکیب نزدیک به مذاب‌های متشت از گوشته، کسی آمیختگی با مذاب‌های حاصل از پوسته را در خود ثبت کرده‌اند. از سوی دیگر تجزیه و تحلیل



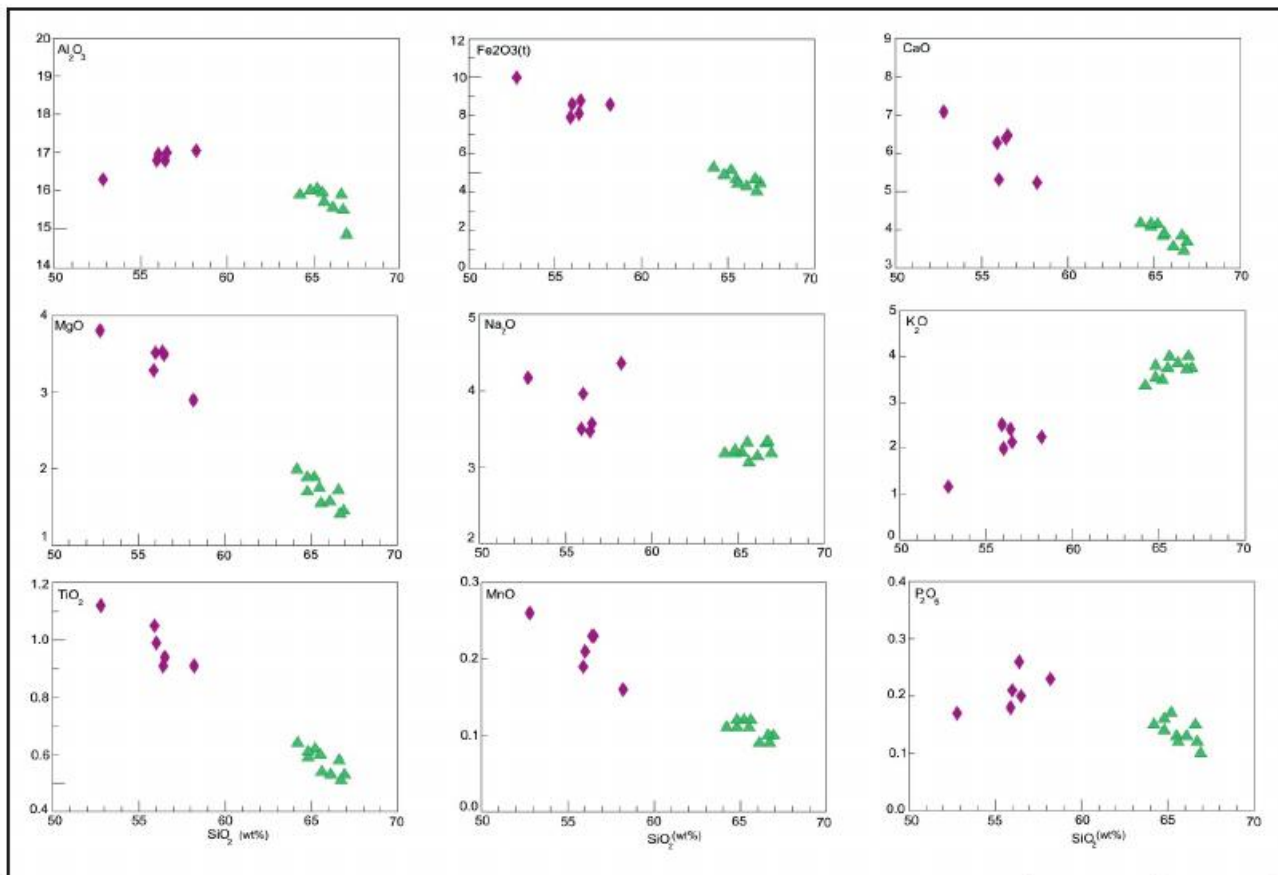
شکل ۱- نقشه ساده زمین‌شناسی منطقه دهبالا در جنوب باختر بین‌زهرا، برگرفته از نقشه ۱/۱۰۰۰۰۰ دانشگاه (افقیمی، ۱۳۷۸). محل برداشت نمونه‌ها با ستاره‌های زرد رنگ مشخص شده است.



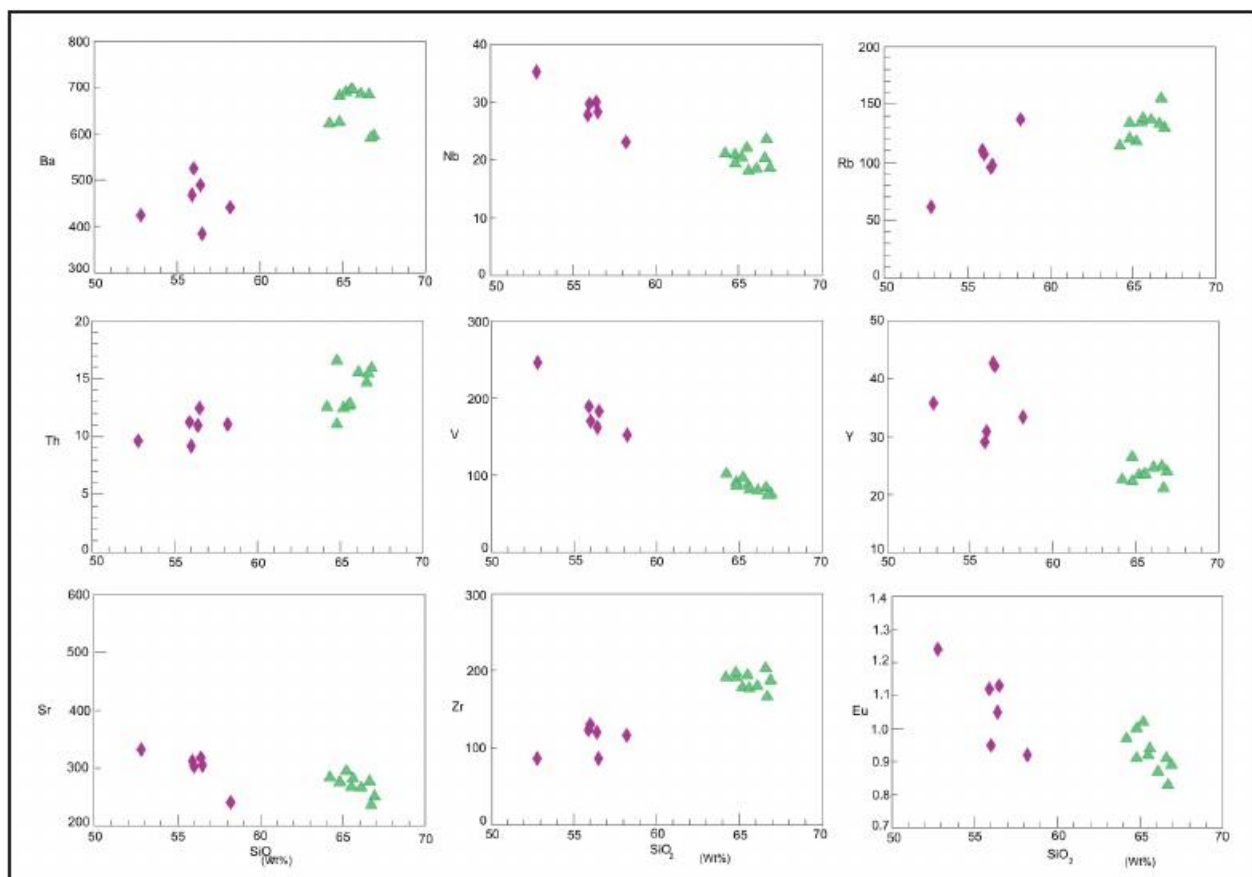
شکل ۲-الف و ب) تصاویر صحرایی گرانو-بیوریت ها و انکلاوهای دهبالا، ب) مرز میان انکلاوهای و گرانو-بیوریت میزان (XPL)، ت) بلورهای بیوتیت و درشت بلور کوارتز که توسط هاله ای از بیوتیت های ریز کلربیتی شده دربر گرفته شده اند (PPL)، ث) درشت بلور پلازیوبکلاز با زوینگ ترکیبی و سطوح تحلیلی (XPL)، ج) بلور ارتوکلاز با بافت پویی کیلیتیک در زمینه انکلاوهای (XPL) (Pl: پلازیوبکلاز، Or: بیوتیت، Qtz: کوارتز) (Kretz, 1983).



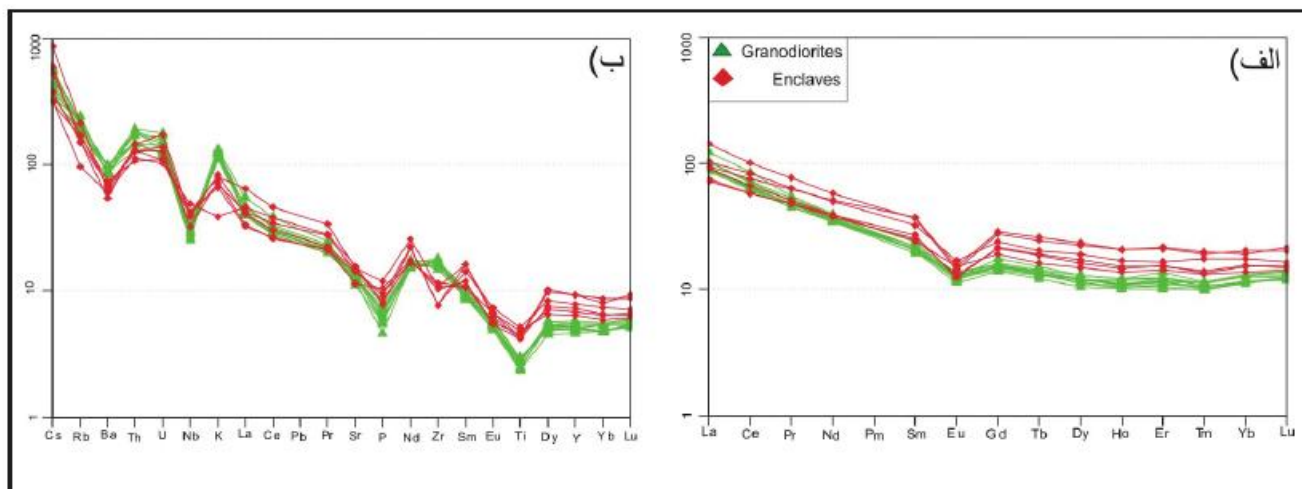
شکل ۳- ردیابی و نام‌گذاری سنگ‌های توده نفوذی ده بالا بر پایه نمودار R1-R2 (De la Roche et al., 1980). مثلث سبز واحد اسیدی و لوزی بنفش انکلاوهای را نشان می دهد.



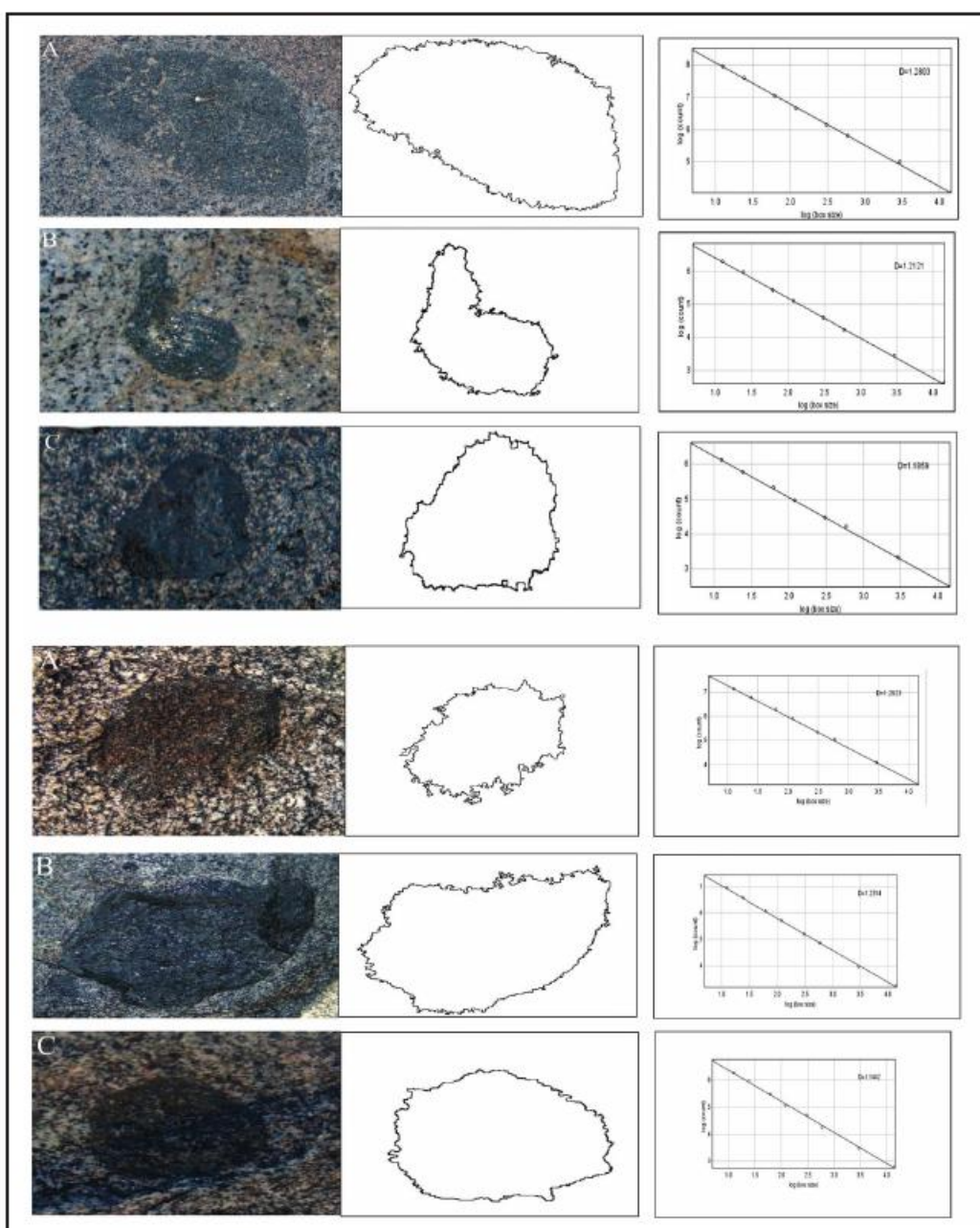
شکل ۴- موقعیت گرانودیوریت ها و انکلاوهای دهبالا روى نمودارهای تنبیرات عناصر اصلی (بر پایه درصد وزنی).



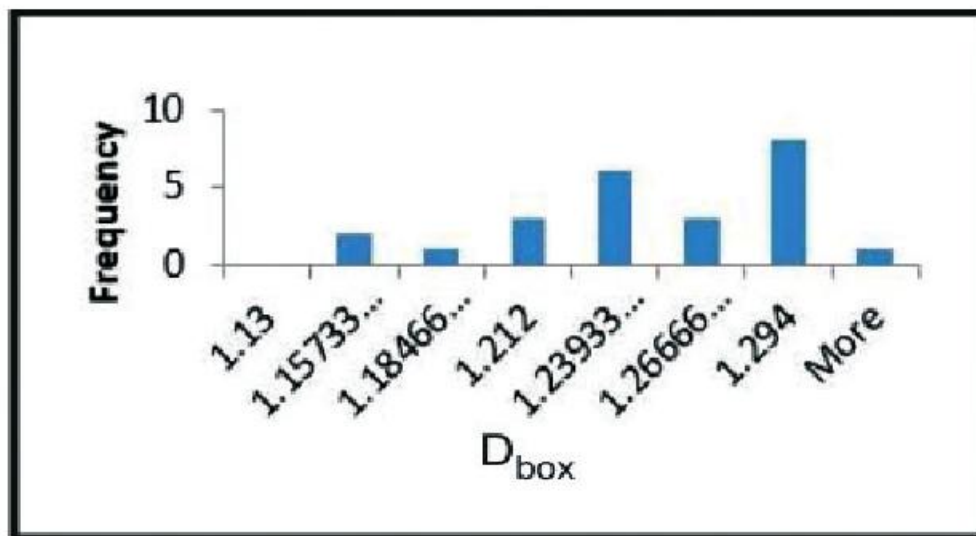
شکل ۵- نمودارهای هار کر برخی از عناصر فرعی (بر حسب ppm) در گرانودیوریت ها و انکلاوهای دهبالا.



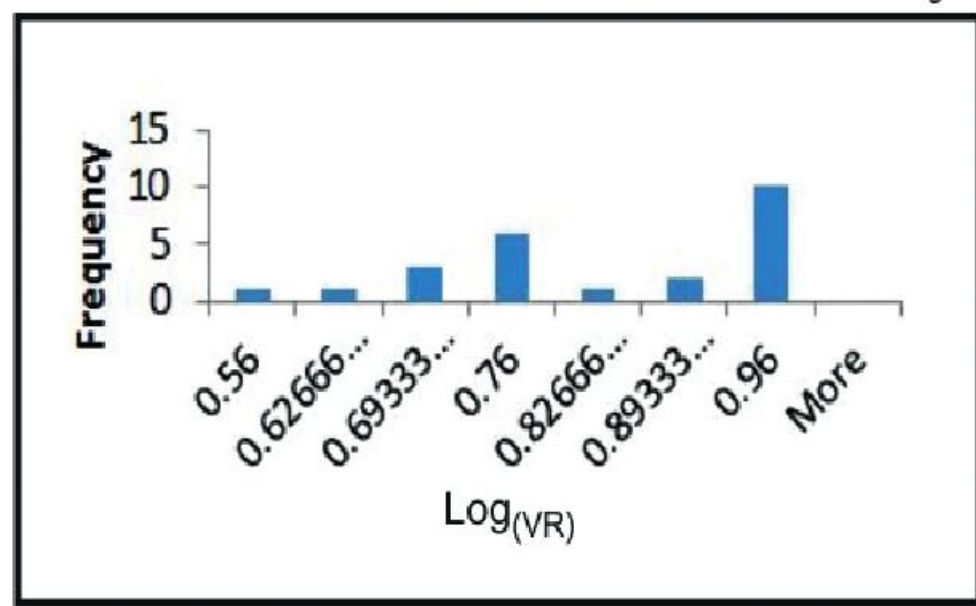
شکل ۶- (الف) الگوی عناصر خاکی کمیاب بهنجار شده با کندریت (Boynton, 1984)، (ب) الگوی عناصر فرعی بهنجار شده با گروشه اولیه (Sun and McDonough, 1989).



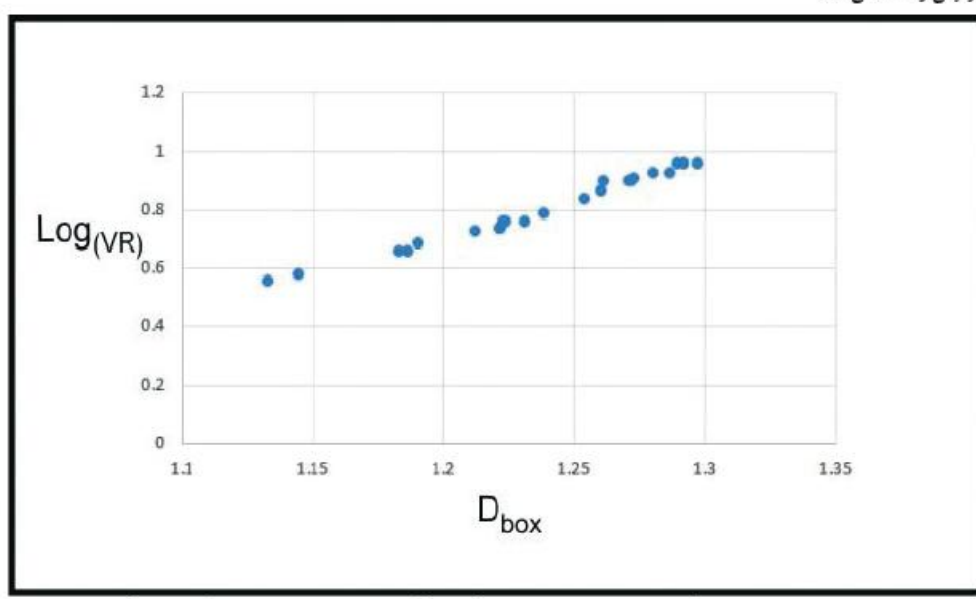
شکل ۷- نمونه هایی از انکلاوها و تصاویر همبری آنها با گرانوڈیوریت های میزان که برای هر یک، مقادیر بعد فرکtal انکلاوها با نرم افزار Image Pro Plus محاسبه شده (D_{box}) و به صورت نمودار های فرکtal رسم شده است.



شکل ۸- نمودار ستونی فراوانی توزع مقادیر ابعاد فرکتال انکلاوهای دهبالا. رده ۱/۲۹ بالاترین فراوانی را نشان می‌دهد.



شکل ۹- نمودار ستونی فراوانی توزع مقادیر لگاریتم گرانتروی (VR) سنگ‌های گرانودیبوریتی میزان و انکلاوهای دهبالا. رده ۰/۹۶ بالاترین فراوانی را نشان می‌دهد.



شکل ۱۰- نمودار تغییرات ابعاد فرکتال انکلاوهای (D_{box}) در برابر نسبت لگاریتم گرانتروی (VR) برای انکلاوهای دهبالا.

جدول ۱ - نتایج ژلوشیمیایی عناصر اصلی و فرعی و حاکم کتاب انکلاوهای
میکروگرانولار مافیک در گراناندیبوریت های دهبالا.

SAMPLE	DA40	DA41	DA42	DA43	DA1	DAS
wt%						
SiO ₂	56.5	56.4	58.2	55.9	56	52.8
Al ₂ O ₃	17	16.8	17.05	16.8	17	16.3
Fe ₂ O ₃ (t)	8.78	8.1	8.57	7.9	8.59	9.99
CaO	6.46	6.39	5.23	6.27	5.31	7.08
MgO	3.5	3.53	2.9	3.29	3.52	3.81
Na ₂ O	3.57	3.47	4.36	3.5	3.96	4.17
K ₂ O	2.14	2.42	2.25	2.52	2	1.17
TiO ₂	0.94	0.91	0.91	1.05	0.99	1.12
MnO	0.23	0.23	0.16	0.19	0.21	0.26
P ₂ O ₅	0.2	0.26	0.23	0.18	0.21	0.17
Cr ₂ O ₃	<0.01	0.01	<0.01	<0.01	<0.01	0.01
SrO	0.03	0.03	0.02	0.03	0.03	0.03
BaO	0.05	0.06	0.05	0.05	0.06	0.04
LOI	1.03	1.15	1.45	0.89	1.78	1.57
Total	100	99.76	101.4	98.57	99.6	98.5
ppm						
Ba	384	489	441	468	525	424
Ce	61.6	82.1	46.4	53.8	47	67.5
Cr	10	20	<10	<10	<10	20
Cs	4.76	3.03	6.91	4.22	2.48	2.56
Dy	7.54	7.22	5.53	4.8	5.26	6.13
Er	4.53	4.41	3.18	3.03	3.23	3.5
Eu	1.13	1.05	0.92	1.12	0.95	1.24
Ga	20.2	20.2	19.9	19.3	20.8	22.6
Gd	7.49	7.22	5.62	4.99	5.44	6.2
Hf	3	3.7	3.1	3.4	3.6	2.4
Ho	1.49	1.48	1.09	0.99	1.05	1.22
La	29.1	44.6	23.2	28.3	22.5	31.7
Lu	0.69	0.65	0.48	0.46	0.5	0.53
Nb	28.3	30	23.1	27.8	29.7	35.2
Nd	30.7	35	23.6	23.4	22.7	30.1
Pr	7.68	9.39	5.91	6.24	5.81	7.77
Rb	97.3	95.6	137	110	107	61.5
Sm	7.26	7.21	5.31	4.76	4.91	6.29
Sr	4	4	4	3	3	5
Sr	305	318	241	312	303	332
Ta	1.9	1.8	1.5	2	1.8	2.3
Tb	1.23	1.16	0.9	0.77	0.88	0.97
Th	12.5	10.95	11.05	11.25	9.18	9.63
Tm	0.65	0.62	0.45	0.43	0.44	0.57
U	3.65	2.91	2.68	2.3	2.36	2.17
V	183	162	152	189	170	246
W	264	184	281	409	382	261
Y	42.2	42.7	33.4	29.1	30.9	35.8
Yb	4	4.27	3.25	2.89	3.15	3.64
Zr	86	120	116	123	130	86
REE _(e)	176	216.2	136	146.5	132	176
Eu/Eu*	0.47	0.44	0.51	0.7	0.56	0.61

جدول ۲- نتایج ژئوشیمی اعنصرو اصلی و فرعی و خاکی کتاب گرانولد پورت های دهبالا

SAMPLE	DG2	DG3	DG8	DG9	DG10	DG11	DG12	DG13	DG16	DG18
wt%										
SiO ₂	67	65	65	64	65.5	64.8	65.6	66.6	66.1	66.7
Al ₂ O ₃	15	16	16	16	15.95	16	15.7	15.9	15.6	15.5
Fe ₂ O ₃ ⁽ⁱ⁾	4.5	4.9	5.1	5.3	4.68	4.89	4.43	4.66	4.28	4.02
CaO	3.7	4.1	4.1	4.2	3.83	4.15	3.88	3.84	3.55	3.44
MgO	1.5	1.7	1.9	2	1.75	1.89	1.55	1.72	1.57	1.41
Na ₂ O	3.2	3.2	3.2	3.2	3.32	3.22	3.06	3.31	3.14	3.33
K ₂ O	3.8	3.8	3.5	3.4	3.75	3.54	4	3.72	3.86	4.01
TiO ₂	0.5	0.6	0.6	0.6	0.6	0.61	0.54	0.58	0.53	0.51
MnO	0.1	0.1	0.1	0.1	0.11	0.12	0.12	0.1	0.09	0.09
P ₂ O ₅	0.1	0.1	0.2	0.2	0.13	0.16	0.12	0.15	0.13	0.12
Cr ₂ O ₃	<0.01	<0.01	<0.01	<0.01	<0.01	<0.01	<0.01	<0.01	<0.01	<0.01
SrO	0	0	0	0	0.02	0.03	0.03	0.03	0.03	0.02
BaO	0.1	0.1	0.1	0.1	0.08	0.08	0.08	0.08	0.08	0.07
LOI	0.7	0.9	1.3	1.2	1.02	1.03	1.8	0.87	1.03	1.13
Total	100	100	101	100	100.7	101	101	102	99.9	100
ppm										
Ba	595	681	690	622	695	625	695	684	686	591
Ce	52	58	52	52	49.7	50.5	56.9	56.8	52.7	68.7
Cr	<10	<10	10	<10	<10	<10	<10	<10	<10	<10
Cs	4	3.5	2.7	2.7	4.48	3.37	4.67	4.39	3.02	2.61
Dy	3.9	4.2	3.8	3.6	3.95	3.69	3.86	4.19	3.92	3.36
Er	2.5	2.9	2.6	2.3	2.38	2.19	2.55	2.58	2.38	2.1
Eu	0.9	0.9	1	1	0.92	1	0.94	0.91	0.87	0.83
Ga	16	17	17	17	16.1	15.4	16.2	16.6	15.5	15.6
Gd	4	4.6	4.1	3.9	3.7	3.99	3.89	4.2	3.93	3.61
Hf	5.2	5.3	4.8	5.1	4.9	5.5	4.8	5.5	4.9	4.1
Ho	0.8	0.9	0.9	0.7	0.77	0.76	0.79	0.88	0.81	0.72
La	29	32	28	29	27.1	27.9	31.7	32.4	28.8	38.1
Lu	0.4	0.5	0.4	0.4	0.4	0.39	0.4	0.44	0.4	0.39
Nb	19	21	20	21	22.1	19.4	18.1	20.3	18.5	23.6
Nd	22	23	21	21	20.7	20.9	22.2	22.7	20.9	23.8
Pr	5.9	6.4	5.8	5.8	5.54	5.53	6.08	6.25	5.85	6.81
Rb	130	134	118	114	134.5	121	138	133	137	155
Sm	4.3	4.7	4.3	4.1	4.09	3.8	4.05	4.27	4.06	3.98
Sn	2	2	12	2	2	2	3	2	2	19
Sr	251	276	295	284	267	275	282	277	266	236
Ta	1.7	1.8	2	1.7	1.6	1.6	1.5	1.7	1.7	2.3
Tb	0.7	0.7	0.6	0.6	0.61	0.62	0.66	0.68	0.62	0.57
Th	16	17	12	13	12.65	11.1	12.8	14.7	15.6	15.5
Tm	0.3	0.4	0.4	0.3	0.34	0.32	0.35	0.36	0.37	0.33
U	3.3	3.8	2.6	2.6	3.02	2.69	2.52	3.57	3.06	2.74
V	75	91	97	102	87	86	81	84	80	74
W	495	433	734	415	363	445	628	424	639	891
Y	24	27	23	23	23.4	22.3	23.5	24.9	24.7	21.1
Yb	2.3	2.7	2.6	2.4	2.4	2.39	2.39	2.69	2.65	2.4
Zr	187	191	178	191	194	197	177	203	180	166
REE _(i)	129	142	127	127	122.6	124	137	139	128	156
Eu/Eu ⁺	0.7	0.6	0.7	0.7	0.72	0.79	0.72	0.66	0.67	0.67

جدول ۳- نتایج مقادیر بعد فرکتال انکلاوها (D_{box}) و نسبت لگاریتم گرانوڑی گرانوڈبوریت‌ها و انکلاوها ($\text{Log } V_R$) در توده نفوذی دهبالا. این مقادیر توسط نرم افزار ImageJ به دست آمده است (مقادیر C2 تا C64 معرف سکانس‌های مربوط با اندازه‌های متفاوت هستند).

sample	C2	C3	C4	C6	C8	C12	C16	C32	C64	D_{box}	$\text{Log } V_R$
1	1530	944	679	412	296	179	128	52	22	1.224	0.77
2	935	538	395	225	162	99	68	31	14	1.212	0.74
3	5239	3223	2247	1401	954	569	390	159	60	1.286	0.95
4	632	412	281	180	131	81	56	23	11	1.183	0.67
5	901	552	376	218	159	93	66	27	12	1.254	0.85
6	1645	1024	698	416	287	173	122	54	25	1.221	0.76
7	2486	1456	999	588	400	240	173	72	30	1.271	0.9
8	2154	1268	891	535	370	210	156	61	24	1.292	0.97
9	2122	1244	880	510	348	205	143	60	24	1.292	0.97
10	3655	2251	1539	947	623	388	250	105	47	1.272	0.9
11	3598	2168	1487	883	604	363	245	103	45	1.273	0.91
12	4281	2602	1825	1080	730	432	293	120	49	1.297	0.98
13	1432	894	643	374	273	161	114	50	21	1.222	0.77
14	1066	635	453	280	202	123	85	39	17	1.19	0.69
15	1243	722	483	279	197	111	85	38	15	1.261	0.87
16	1724	1022	705	415	288	173	115	48	20	1.289	0.96
17	1744	1059	746	441	307	185	130	53	26	1.231	0.79
18	5048	2889	2006	1146	788	465	336	148	57	1.28	0.93
19	826	505	342	205	141	84	62	27	10	1.26	0.87
20	3462	2100	1474	946	678	417	283	118	49	1.223	0.77
21	755	462	320	209	144	88	69	28	12	1.186	0.68
22	934	552	379	238	163	96	71	32	12	1.238	0.81
23	857	515	381	237	161	110	70	33	17	1.144	0.59
24	1099	684	499	311	216	138	97	47	22	1.133	0.57

گتابنگاری

آفاباتی، ع.، ۱۴۸۴- زمین‌شناسی ایران، انتشارات سازمان زمین‌شناسی و اکتشافات معدنی کشور، ۶۲۰ ص.

ائلبی، ب.، ۱۴۷۸- نقشه زمین‌شناسی ۱/۱۰۰۰۰۰ داشستان (چارچ)، انتشارات سازمان زمین‌شناسی و اکتشافات معدنی کشور.

صفرازاده، ا.، ۱۴۸۶- پتروگرافی و پترولوری توده نفوذی حاجی‌آباد، پایان‌نامه کارشناسی ارشد، دانشگاه شهید بهشتی، تهران.

طباخ شعبانی، ا.ا.، ۱۴۶۹- پتروگرافی و پترولوری توده‌های نفوذی جنوب بوین زهرا، پایان‌نامه کارشناسی ارشد، دانشگاه خوارزمی، کرج

نوگل سادات، ا.ا. و هوشمندزاده، ا.، ۱۴۸۴- نقشه زمین‌شناسی ۱/۲۵۰۰۰۰ ساوه، انتشارات سازمان زمین‌شناسی و اکتشافات معدنی کشور.

References

- Agard, P., Omrani, J., Jolivet, L., Whitechurch, H., Vrielynck, B., Spak-man, W., Monié, P., Meyer, B. and Wortel, R., 2011- Zagros orogeny: a subduction-dominated process. Geological Magazine, 148: 692–725.
- Alberta, H., Perugini, D. and Martí, J., 2014- Fractal Analysis of Enclaves as a New Tool for Estimating Rheological Properties of Magmas During Mixing: The Case of Montaña Reventada (Tenerife, Canary Islands). Pure and Applied Geophysics DOI 10.1007/s00024-014-0917-5.
- Baker, D. R., 1990- Chemical inter-diffusion of dacite and rhyolite: anhydrous measurements at 1 atm and 10 kbar, application of transition state theory, and diffusion in zoned magma chambers. Contributions to Mineralogy and Petrology 104: 407–423.
- Barbarin, B. and Didier, J., 1992- Genesis and evolution of mafic microgranular enclaves through various types of interaction between coexisting felsic and mafic magmas. Transactions of the Royal Society of Edinburgh Earth Sciences, 83: 145–153.
- Barbarin, B., 1991- Enclaves of the Mesozoic calc-alkaline granitoids of the Sierra Nevada batholith, California. In: Didier J. and Barbarin B. (Eds.), Enclaves and Granite Petrology, Developments in Petrology, Elsevier, Amsterdam, 13: 135–154.
- Barbarin, B., 2005- Mafic magmatic enclaves and mafic rocks associated with some granitoids of the central Sierra Nevada batholith, California: nature, origin, and relations with the hosts. Lithos, 80: 155–177.

- Baxter, S. and Feely, M., 2002- Magma mixing and mingling textures in granitoids: examples from the Galway Granite, Connemara, Ireland. *Mineralogy and petrology*, 76: 63-74.
- Berberian, M. and King, G. C. P., 1981- Towards a palaeogeography and tectonic evolution of Iran. *Canadian Journal of Earth Sciences*, 18: 210-265.
- Best, M., 1982- Igneous and Metamorphic Petrology. Freeman, San Francisco, 630pp.
- Bindeman, I. N. and Davis, A. M., 1999- Convection and redistribution of alkalis and trace elements during the mingling of basaltic and rhyolite melts. *Petrology*, 7 (1): 99-110.
- Boynton, W. V., 1984- Geochemistry of the rare earth elements: Meteorite studies. In: Rare Earth element geochemistry (Ed. Henderson, P.), Elsevier, Amsterdam, 63-114.
- De Campos, C. P., Perugini, D., Ertel-Ingrisch, W., Dingwell, D. B. and Poli, G., 2011- Enhancement of magma mixing efficiently by chaotic dynamics: an experimental study. *Contribution to Mineralogy and Petrology*, 161: 863-881.
- De La Roche, H., Leterrier, J., Grande Claude, P. and Marchal, M., 1980- A classification of volcanic and plutonic rocks using R1-R2 diagrams and major element analyses – its relationship and current nomenclature. *Chemical Geology*, 29: 183-210.
- Debon, F., 1991- Comparative major element chemistry in various “microgranular enclave–plutonic host” pairs. In: Didier J. Barbarin B. (Eds.), *Enclaves and Granite Petrology. Developments in Petrology*. Elsevier, Amsterdam, 13: 293-312.
- Didier, J. and Barbarin, B., 1991- Enclaves and Granite Petrology, *Developments in Petrology*, Elsevier, Amsterdam, 13: 625 pp.
- Falcon, N. L., 1974- Outline of Geology of Iranian Makran. *Geography Journal*, 140: 284-291.
- Farmer, M. J., Lee, C. T. A. and Putirka, K. D., 2014- Mafic-felsic magma mixing limited by reactive processes: A case study of biotite-rich rinds on mafic enclaves. *Earth planet science letter*, 393: 49-50.
- Fernandez, A. N. and Barbarin, B., 1991- Relative rheology of coeval mafic and felsic magmas: nature of resulting interaction processes. Shape and mineral fabrics of microangular enclaves. In: Didier J. Barbarin B. (Eds.), *Enclaves and Granite Petrology. Developments in Petrology*, Elsevier, Amsterdam, 13: 19-23.
- Gamble, J. A., 1979- Some relationships between coexisting granitic and basaltic magmas and the genesis of hybrid rocks in the Tertiary Central Complex of Slieve Gullion, Northeast Ireland. *Journal of Volcanology and Geothermal Research*, 5: 297-316.
- Grogan, S. E. and Reavy, R. J., 2002- Disequilibrium textures in the Leinster Granite Complex, SE Ireland: evidence for acid-acid magma mixing. *Mineralogical Magazine*, 66 (6): 929-939.
- Johnston, A. D. and Wyllie, P. J., 1988- Interaction of granitic and basic magmas: experimental observations on contamination processes at 10 Kbar with H₂O. *Contributions to Mineralogy and Petrology*, 98: 352-362.
- Kocak, K., Zedef, V. and Kansun, G., 2011- Magma mixing/mingling in the Eocene Horoz (Nigde) granitoids, Central southern Turkey: evidence from mafic microgranular enclaves. *Mineralogy and petrology*, 103(1-4): 149-176.
- Kouchi, A. and Sunagawa, I., 1985- A model for mixing basaltic and dacitic magmas as deduced from experimental data. *Contributions to Mineralogy and Petrology*, 89: 17-23.
- Kretz, R., 1983- Symbols for rock-forming minerals. *American Mineralogist*, 68: 277-279.
- Kumar, S. and Pieru, T., 2010- Petrography and major element geochemistry of microgranular enclaves and Neoproterozoic granitoids of South Khasi, Meghalaya: evidence of magma mixing and alkali diffusion. *Journal of Geological Society India*, 76: 345-360.
- Kumar, S., 2010- Mafic to hybrid microgranular enclaves in the Ladakh batholith, northwestern Himalaya: implications on calc-alkaline magma chamber processes. *Journal of Geological Society of India*, 76: 5-25.
- Kumar, S., Rino, V. and Pal, A. B., 2004- Field evidence of magma mixing from microgranular enclaves hosted in Palaeoproterozoic Malanjkhand granitoids, central India. *Gondwana Research*, 7: 539-548.
- Lesher, C. E., 1990- Decoupling of Chemical and Isotopic Exchange during Magma Mixing. *Nature*, 344: 235-237.
- Mandelbrot, B. B., 1982- The Fractal Geometry of Nature. W. H. Freeman, New York.
- Mandelbrot, B., 1989- Fractal geometry: What is it, and what does it do? in: F. R. S. Fleischmann, D. Tildesley, R. C. Ball (Eds.), *Fractals in the Natural Sciences*, Princeton University Press, Princeton NJ.
- Ottino, J. M., Leong, C. W., Rising, H. and Swanson, P. D., 1988- Morphological structures produced by mixing in chaotic flows. *Nature*, 333: 419-425.
- Perugini, D. and Poli, G., 2012- The mixing of magmas in plutonic and volcanic environments: analogies and differences. *Lithos*, 153: 263-279.
- Perugini, D. and Poli, G., 2002- Chemical Diffusion in Complex Geometries during Chaotic Mixing of Magmas. *Eurogranites (abstract)*, 46pp.
- Perugini, D. and Poli, G., 2004- Determination of the degree of compositional disorder in magmatic enclaves using SEM, X-ray element maps. *European Journal of Mineralogy*, 16: 431-442.

- Perugini, D. and Poli, G., 2005- Viscous fingering during replenishment of felsic magma chambers by continuous inputs of mafic magmas: field evidence and fluid-mechanics experiments. *Geology*, 33 (1): 5–8.
- Perugini, D., De Campos, C. P., Dingwell, D. B., Petrelli, M. and Poli, G., 2008- Trace element mobility during magma mixing: preliminary experimental results. *Chemical Geology*, 256: 146–157.
- Perugini, D., Poli, G. and Mazzuoli, R., 2003- Chaotic advection, fractals and diffusion during mixing of magmas: evidence from lava flows. *Journal of Volcanology and Geothermal Research*, 124: 255-279.
- Perugini, D., Poli, G., Christofides, G., Soldatos, T., Koroneos, A. G. and Eleftheriadis, G., 1999- Importance of magmatic interaction processes in the evolution of tertiary granitoids of Serbomacedonian and Rhodope Massifs (Northern Greece). *EUG10 Journal of Conference Abstracts*, 4 (1): 670.
- Rollinson, H., 1993- Using Geochemical Data: Evaluation, Presentation, Interpretation. John Wiley and Sons, New York 5.
- Rudnick, R. L. and Gao, S., 2003- Composition of the continental crust. In: Holland H.D. Turekian K.K. (Eds.), *Treatise on Geochemistry*. Elsevier, Oxford, 3:1-64 pp.
- Sawka, W. N., 1988- REE and trace element variations in accessory minerals and hornblende from the strongly zoned McMurry Meadows pluton, California. *Transactions of the Royal Society of Edinburgh*, 79: 157-168.
- Slaby, E., Smigielski, M., Smigielski, T., Domonik, A., Simon, K. and Kronz, A., 2011- Chaotic three-dimensional distribution of Ba, Rb, and Sr in feldspar megacrysts grown in an open magmatic system. *Contribution to Mineralogy and Petrology*, 162: 909–927.
- Sun, S. S. and McDonough, W. F., 1989- Chemical and isotopic systematics of oceanic basalts: implications for mantle composition and processes. *Geological Society, London, Special Publications*, 42: 313-345.
- Tate, M. C., Clarke, D. and Heaman, L. M., 1997- Progressivehybridization between Late Devonian mafic-intermediate and felsic magmas in the Megume zone of Nova Scotia, Canada. *Contributions to Mineralogy and Petrology*, 126: 401–415.
- Tindle, A. G., 1991- Trace element behaviour in microgranular enclaves from granitic rocks. In: Didier J. Barbarin B. (Eds.), *Enclaves and Granite Petrology, Developments in Petrology*. Elsevier, Amsterdam, 13: 13–331.
- Vernon, R. H., 1983- Restites, xenoliths and microgranitoid enclaves in granites. *Journal and proceedings of the Royal Society of New South Wales (London)*, 116: 77-103.
- Vernon, R. H., 1984- Microgranitoid enclaves in granites: globules of hybrid magma quenched in a plutonic environment. *Nature*, 309 (5967): 438–439.
- Vernon, R. H., Etheridge, M. A. and Wall, V. J., 1988- Shape and microstructures of microgranitoid enclaves: indicators of magma mingling and flow. *Lithos*, 22: 1–11.
- Vogel, T. A., Younker, L. W., Wilband, J. T. and Kampfeller, E., 1984- Magma mixing: the Marsco suite, Isle of Skye, Scotland. *Contributions to Mineralogy and Petrology*, 87: 231- 241.
- Wang, H. Z., Chen, P. R., Sun, L. Q., Ling, H. F., Zhao, Y. D. and Lan, H. F., 2015- Magma mixing and crust–mantle interaction in Southeast China during the Early Cretaceous: Evidence from the Furongshan granite porphyry and mafic microgranular enclaves. *Journal of Asian Earth Sciences*, 111: 72-78.
- Watson, E. B., 1981- Diffusion in magmas at depth in the earth: the effects of pressure and dissolved HeO_2 . *Earth Planetary Science Letter*, 52: 291-301.
- Wiebe, R. A., 1973- Relation between coexisting basaltic and granitic magmas in a composite dike. *American Journal of Science*, 273: 130-151.
- Wiebe, R. A., Smith, D., Sturm, M., King, E. M. and Seckler, 1997- Enclaves in the Cadillac Mountain granite (Coastal Maine): samples of hybrid magma from the base of the chamber. *Journal of Petrology*, 38: 393–426.
- Xiong, F. H., Ma, C. Q., Zhang, J. Y. and Liu, B., 2011- The origin of mafic microgranular enclaves and their host granodiorites from East Kunlun, Northern Qinghai-Tibet Plateau: implications for magma mixing during subduction of Paleo-Tethyan Lithosphere. *Mineralogy and Petrology*, 104: 211–224.
- Yang, J. H., Wu, F. Y., Wilde, S., Xie, L. W., Yang, Y. H. and Liu, X. M., 2007- Tracing magma mixing in granite genesis: in situ U-Pb dating and Hf-isotope analysis of zircons. *Contributions to Mineralogy and Petrology*, 153: 177–190.
- Zhao, K. D., Jiang, S. Y., Yang, S. Y., Dai, B. Z. and Lu, J. J., 2012- Mineral chemistry, trace elements and SrNd/Hf isotope geochemistry and petrogenesis of Cailing and Furong granites and mafic enclaves from the Qitianling batholith in the Shi-Hang zone, South China. *Gondwana Research*, 22: 310–324.

Geochemistry and fractal analysis of enclaves in the Dehe Bala granodioritic pluton in order to investigate magma hybridization processes

Z. Gharamohammadi¹, A. Kananian^{2*} and M. Elsaghi³

¹M.Sc., School of Geology, College of Sciences, University of Tehran, Tehran, Iran

²Professor, School of Geology, College of Sciences, University of Tehran, Tehran, Iran

³Associate Professor, School of Geology, College of Sciences, University of Tehran, Tehran, Iran

Received: 2016 August 31

Accepted: 2016 December 04

Abstract

The Dehe Bala pluton is exposed approximately 45 km south-west of Boein Zahra town, Qazvin province. This pluton includes several mafic microgranular enclaves (MMEs) with ellipsoidal and rounded shapes and varying sizes (from a few centimeters up to 30 cm). The MMEs are composed of diorite, monzodiorite and diorite-gabbro while the host rocks comprise mainly granodiorite. The presence of disequilibrium textures in enclaves, such as plagioclase phenocrysts with repeated resorption surfaces and sieve texture, quartz ocelli and acicular apatite, suggest a variety of magma mixing processes affecting the Dehe Bala pluton. The distribution of major, trace and rare earth elements apparently reflect exchange between the MMEs and the felsic host rocks. Unusual REE enrichment of the enclaves compared to the country rocks can be attributed to significant differences in their parent magma compositions. The complexity of the morphology of the enclaves (fractal dimension) caused by magma mixing processes. Fractal dimensions of the enclaves vary between 1.14 to 1.29. The frequencies of $D_{max} = 1.29$ is the highest frequency in histogram. According to the fractal dimensions of enclaves, the logarithm of the viscosity ratio between the host granodiorite and the enclave ranges between 0.56 to 0.96 with most values clustering around 0.96. The most of enclaves in the Dehe Bala pluton characterized by silica content around 56 wt% and a high fractal dimension. These evidence confirmed the occurrence of slight hybridization between the mafic enclave magma and surrounding felsic magma, causing increasing of viscosity difference between the host granodiorite and the enclave magmas.

Keywords: Mafic microgranular enclaves , Granodiorite, Magma mixing, Fractal dimensions, Viscosity.

For Persian Version see pages 295 to 308

*Corresponding author: A. Kananian; E-mail: kananian@khayam.ut.ac.ir